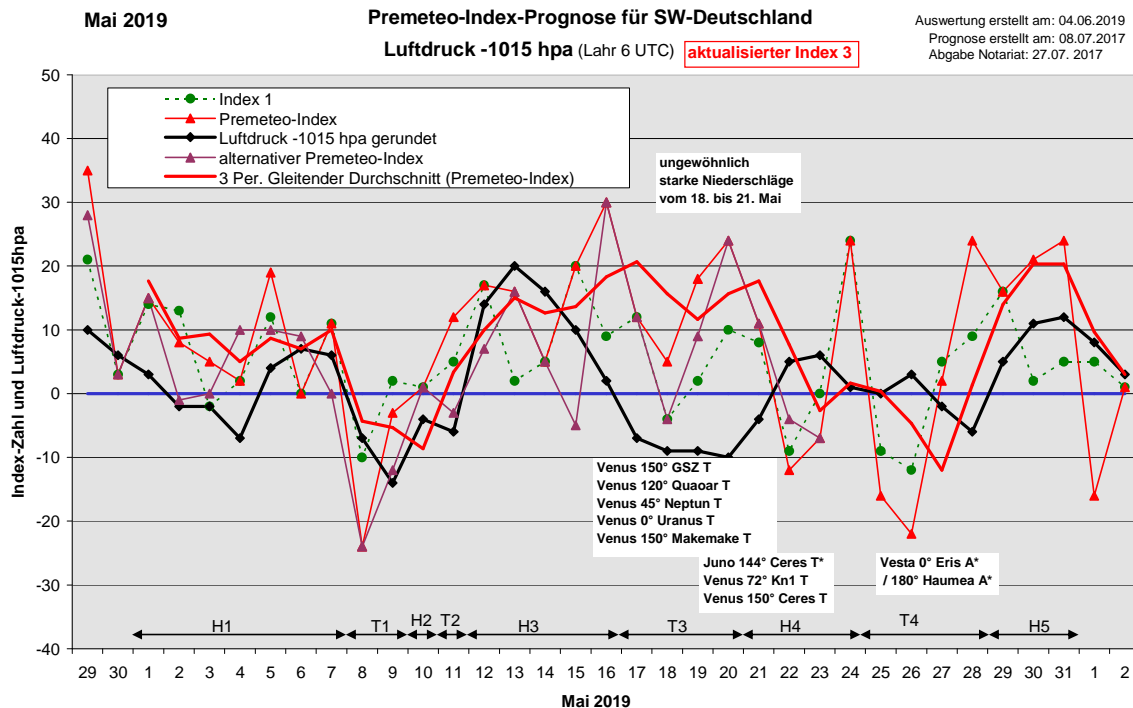


Wetterlagenverlauf Mai 2019 im Vergleich zur Premeteo-Indexprognose für Südwest-Deutschland

(Im Diagramm sind über der Datumsachse die real eingetreten Hoch- und Tiefdruckphasen durch Doppelpfeile eingetragen. Ausschlaggebend für die Evaluation ist der tägliche Premeteo-Index, in der dünneren, roten Linie mit Dreieckspunkten dargestellt. Ein negativer Premeteo-Index zeigt die Wahrscheinlichkeit für eine zyklonale Tiefdruckströmung, ein positiver Premeteo-Index die Wahrscheinlichkeit für eine antizyklonale Hochdruckströmung an.

Die Wetterlagenbeschreibungen wurden anhand der Berliner Wetterkarten erstellt. Ausschlaggebend ist die Europa-Bodenkarte um 0 UTC, die feiner skalierte 12 UTC-Karte von Mitteleuropa wird nur bei einem Wetterlagenwechsel für die Einordnung des Tages hinzugezogen. Am Ende des Dokuments befinden sich die Tabellen und Konstellationen, die dem Diagramm zugrunde liegen.)



Zusammenfassung: Der Mai 2019 zeigt im Auswertungsdiagramm in der ersten Monatshälfte bezüglich des Luftdruckverlaufs bis zum 14. eine sehr schöne Annäherung an den Premeteo-Index. Danach setzte vom 15. bis 22. ein zum Index entgegengesetzter Druckverlauf ein, der, wie unten folgend bei Tiefdruckphase 3 beschrieben, mit einer ungewöhnlichen Häufung von Venus-T-Aspekten einher ging. Da diese jedoch von höherrangigen H- und H*-Aspekten begleitet waren, verlief der Premeteo-Index im positiven Bereich. Die wiederholte Tiefdruck-Aspektierung des Planeten Venus zeigte hier jedoch eine durchschlagende Wirkung. Vor allem zeichnete sich der Zeitraum durch besonders starke Regenfälle aus.

Zum Ende des Monats hatten der Verlauf des 3-periodisch gleitenden Durchschnitts des Premeteo-Index und des Luftdrucks wieder eine große Ähnlichkeit miteinander.

22 Tage waren bezüglich der Wetterlage richtig prognostiziert. Allerdings war der mittlere Premeteo-Index über die insgesamt 11 Tage realer zyklonaler Strömung mit +2,91 Punkten positiv, jedoch deutlich kleiner als über die 20 eingetretenen Hochdrucktage, bei denen ein Indexmittelwert von +11,3 erreicht wurde.

Der wärmste Tag war der 31. mit einer Tagesmitteltemperatur von 19,4° C bei Venus 60° aufsteigender Mondknoten W / 120° Saturn T sowie Venus 60° Neptun HW am Vortag.

Am 4. wurde die geringste Tagesmitteltemperatur mit 5,5° C bei Chiron 180° Makemake H?*, Uranus 120° Quaoar H?* und Merkur 180° Haumea H erreicht.

Nach Merkur 144° Makemake Hf am 12. und vor Juno 90° Pallas H* am 14. trat der höchste Luftdruck mit 1034,5 hPa am 13. Mai auf.

Die Phase mit dem tiefsten Luftdruck ereignete sich vom 18. bis 20. mit Werten von 1006,0 hPa bis 1005,1 hPa. Es wurde Uranus 150° Makemake Hf* exakt. Zugleich befand sich aber Venus in Konjunktion mit Uranus, wobei Venus 0° Uranus sowie Venus 150° Makemake beide T-Aspekte sind! Die Venus-Aspekte, die Teil der oben erwähnten Venus-T-Aspekthäufung waren, bestimmten hier also entgegen der Rangordnungsregel die Wetterlage.

Beschreibung der einzelnen Wetterphasen:

Hochdruckphase 1: Der Mai 2019 begann bei fallendem Luftdruck durch ein flaches Hoch über Südostengland mit einem wolkenlos sonnigen Tag. Am 2. lag der Kern einer flachen Hochdruckzone über Südwestdeutschland. Der Luftdruck fiel weiter ab und die Region kam um 0 UTC des 3. in den Isobarenbereich von Tief Werner über Finnland. Bis 12 UTC hatte sich jedoch das Azorenhoch durchgesetzt und um 0 UTC des 4. trennte eine sehr flache und schmale antizyklonale Zone über Südwestdeutschland Tief Werner II mit Kern über Südschweden von dem tiefen Druck über dem Mittelmeer mit Kern über Nordwestlibyen. Da um 12 UTC eine Kaltfront Südwestdeutschland überquerte, hatte das Wetter einen völlig zyklonalen Charakter und thermodynamisch gesehen, hätte man es als solches auch eingeordnet. Kosmogeometrisch gesehen, wenn es auf die Krümmung der Isobaren ankommt, musste dieser feine Unterschied gemacht werden. Am 5. setzte sich Hoch Maxine mit Kern westlich Schottlands dann erst richtig durch. Auffallend war für die Jahreszeit der Vorstoß der sehr kalten maritimen Arktikluft. Über Südostfrankreich war auf der 500 hPa Karte ein Kältezentrum mit -32°C sichtbar, das sich zum 6. nach Italien verlagerte. In der Bodenatmosphäre verlagerte sich Hoch Maxine bis zum 7. nach Ostfrankreich und brachte noch einen sonnigen Tag. Der Premeteo-Index summierte über die 7-tägige Hochdruckphase auf +60.

Tiefdruckphase 1: Entsprechend dem negativen Premeteo-Index am 8. und 9. dehnte sich Tief Yukon mit ergiebigem Niederschlag über Südwestdeutschland aus. Sein Kern wanderte dabei vom Ostatlantik über Nordwestfrankreich und Nordsee nach Südschweden. Der Premeteo-Index summierte über die 2-tägige Tiefdruckphase auf -27.

Hochdruckphase 2: Schwacher Hochdruckeinfluss von der Schweiz herrschte am 10. bei einem Premeteo-Index von +1 vor.

Tiefdruckphase 2: Der 11. Mai hatte eine ungewöhnliche Konstellation, bei der auch ein alternativer Index ausgewiesen wurde. Im Index 1 traten auf: Merkur 144° GSZ Tf, Mars 180° GaZ H / 30° Sedna Tf / 72° Orcus Hf sowie Venus 180° Haumea H. Tf- und Hf-Aspekte haben erfahrungsgemäß einen starken Lokalbezug. GaZ und GSZ haben den höchsten Rang als Aspektpartner. Der Rangordnung nach ergab sich ein Premeteo-Index von +12. rechnete man Mars 30° Sedna Tf ein, ergab sich ein Premeteo-Index von -3. So entsprach hier der alternative Index der real eingetroffenen Wetterlage.

Hochdruckphase 3: Ein Hoch über Südwest-Großbritannien und Hoch Neyvi über der Nordsee am 12. und 13. bestimmten die antizyklonale Lage. Hoch Neyvi wanderte am 14. über Dänemark nach Skandinavien und verweilte dort bis zum 16. Mai. Der Premeteo-Index summierte über die 5-tägige Hochdruckphase auf +88.

Tiefdruckphase 3: Noch bei einem Premeteo-Index von +12 war der Luftdruck am 17. schon stark gefallen, und Tief Axel mit Kern über dem Osten der Spanischen Halbinsel reichte flach bis Südwestdeutschland. Das Tief wanderte am 18. über Nordostfrankreich und sein Kern erreichte Süddeutschland am 19. Mai. Auch am 20. verblieb Südwestdeutschland noch innerhalb seines Isobarenbereichs. Der Premeteo-Index summierte über die 4-tägige Tiefdruckphase auf +59. Der Verlauf der Luftdruckkurve zeigt im Diagramm, dass der Index 1 und alternative Premeteo-Index am 18. mit einem Wert von -4 für den Wetterlauf maßgebend gewesen war. Es handelte sich um eine auffallende Abfolge von fünf Venus-T-Aspekten am 17. und 18., die zwar keine hohe Rangordnung besaßen, aber durch ihre Häufung den zyklonalen Prozess in der Atmosphäre stärker intensivierten, als die Prognoseregeln

vorgaben. Auf diese fünf aufeinander folgenden Venus-T-Aspekte war schon im Prognose-Begleittext (am oberen Rand der Prognosetabellen) hingewiesen worden. Es handelte sich um Venus 150° GSZ / 120° Quaoar / 45° Neptun / 0° Uranus und 150° Makemake. Die zeitgleich vorhandenen H^{*}-, Hf- und H-Aspekte blieben wirkungslos oder erfuhren eine Impulsumkehrung. Die Auslösungen der Venus-Uranus-Konjunktion mit positivem Wert im Index 3 blieben ebenfalls bedeutungslos. Auffallend war, dass der tiefe Luftdruck (bei Vollmond am 18. gegen 21 UTC) entgegen dem positiven Premeteo-Index noch zwei weitere Tage anhielt und dass es dabei zu starken Regenfällen kam, die in Südwestdeutschland zu Überschwemmungen führten. In Durbach-Hespengrund summierten sich die Niederschläge dieser Tiefdruckphase auf rund 49 Liter, wobei im Übergang zur Hochdruckphase 4 noch 47 Liter hinzukamen, so dass diese ungewöhnliche Konstellation in vier Tagen mit fast 96 Litern die Niederschlagsmenge eines ganzen Monats mit sich brachte. Am 21. wurde Juno 144° Ceres T^{*} und am 22. noch zwei weitere Venus T-Aspekte exakt: Venus 72° Kn1 T und Venus 150° Ceres T. Die reale Luftdruckkurve zeigte einen gegensätzlichen Verlauf zum geglätteten Premeteo-Index.

Hochdruckphase 4: Um 0 UTC des 21. lag der Kern von Tief Axel über Tschechien, aber Hoch Ophelia bei Irland krümmte die Isobaren über der Region schon schwach zu seinem Kern hin. An diesem Tag fielen, wie oben erwähnt, noch mal 47 Liter Regen, doch der Tag konnte aufgrund der Isobarenkrümmung schon als überwiegend antizyklonal eingestuft werden. Am 22. lag der Kern von Hoch Ophelia über Nordwestfrankreich und es gab keine Niederschläge mehr. Jetzt hatte der Premeteo-Index den Wert von -12 und der Luftdruck verlief nun entgegengesetzt zum Premeteo-Index in Begleitung der oben erwähnten Aspekte und Venus 72° Kn1 T sowie Venus 150° Ceres T. Hoch Ophelia lagerte am 23. über Westdeutschland bei einem Premeteo-Index von -7, der allein von der Symmetrie Haumea 144° Sonne Neptun T ?* A W -7 stammte. Da Neptun 144° Haumea ?* ein Aspekt ist, der seit den vorliegenden Aufzeichnungen ab 1879 noch nie exakt wurde, kann nicht gesagt werden, ob er ein H^{*}- oder ein A^{*}-Aspekt ist. Es ist also möglich, dass der Premeteo-Index am 23. eigentlich nur den Wert 0 hatte. Hoch Ophelia schwächte sich zum 24. deutlich ab und sein Kern lag um 0 UTC über Südostdeutschland. Der Premeteo-Index summierte über die 4-tägige Hochdruckphase auf +16.

Tiefdruckphase 4: Am 25. reichte Tief Bernhard mit Kern über der Ostsee nur sehr flach bis über Südwestdeutschland. Südwestdeutschland lag dabei zwischen der 1015er Isobare, die das Azorenhoch abgrenzte und der 1015er Isobare von Hoch Ophelia über den Alpen. Zu Gewittern und kräftigen Niederschlägen kam es dabei vor allem über der höher gelegenen Osthälfte der Region. Um 0 UTC des 26. hatte sich das Azorenhoch flach über ganz Deutschland ausgedehnt, um 12 UTC war die Strömung aber schon wieder leicht zyklonal. Die Region geriet am 27. bei fallendem Luftdruck in den Trogbereich von Tief Claudius I, II und III, dessen südlichster Kern III sich über Dänemark befand. Zugleich lag auch ein Tief über dem Tyrrhenischen Meer. Im Westen wurde das Gebiet vom Azorenhoch begrenzt, im Osten von einem Hoch mit Kern über der Türkei. Um 12 UTC befand sich die Region im Grenzgebiet zwischen zyklonaler und antizyklonaler Strömung. Am 26. war die Konjunktion Vesta-Eris exakt und kam in Opposition zu Haumea, die am 28. exakt wurde. Tief Claudius-Dirk dehnte sich am 28. mit einer Achse von Skandinavien über das östliche Deutschland bis ins Tyrrhenische Meer aus. Der Premeteo-Index hatte einen Wert von +24 und im Diagramm erschien der Gang der Luftdruckkurve gegenüber dem gemittelten Premeteo-Index wie um zwei Tage verschoben oder aber wie eine Impulsumkehrung durch den 144° Aspekt der retrograd rotierenden Venus mit dem rückläufigen Jupiter. Der Premeteo-Index summierte über die 4-tägige Tiefdruckphase auf -12.

Hochdruckphase 5: Mit zwei Tagen Verspätung setzte sich am 29. Hoch Pia mit Kern über Azoren und Balkan durch. Am 30. hatte das Hoch einen Kern über Südwestfrankreich und einen über Tschechien, am 31. über Frankreich. Die 3-tägige Hochdruckphase summierte auf +61.

SW-D befand sich an 20 Tagen im Einflussbereich antizyklonaler Strömung. Die Summe des prognostizierten Premeteo-Index für diese Tage ergab +226. Dies entsprach einer Indexzahl von +11,3 pro Tag.

An 11 Tagen befand sich SW-D im Einflussbereich zyklonaler Strömung. Die Summe des prognostizierten Premeteo-Index für diese Tage ergab +32. Dies entsprach einer Indexzahl von +2,91 pro Tag.

Die Prognose durch die Premeteo-Wettersymbole war an 8 Tagen falsch (am 11., 19., 20., 21., 22., 26., 28., 29.), an 12 Tagen richtig und an 11 Tagen tendenziell richtig.

Zu den Tabellen



04.06.2019
Mai 2019
01.05.2019



Prognose für SW-Deutschland

aktualisierter Index 3

Die Konjunktion von Saturn mit dem absteigenden Mondknoten bleibt den ganzen Monat bestehen. Vom 18. bis zum 22. bilden Sonne, Sedna und Merkur ein enges Konjunktionsfeld. Am 17. und 18. fallen 5 aufeinander folgende Venus-T-Aspekte auf, dies könnte zu einer Impulskehrung führen. Vom 24. bis zum 28. ist Vesta in Konjunktion mit Eris. Am 30. beginnt die Konjunktion von Juno mit dem aufsteigenden Mondknoten. Aspekte, die im Index 3 in roter Schrift erscheinen, wurden nicht berechnet, da die Partnerplaneten zum jeweiligen Konjunktionsplaneten einen geringeren Rang haben.

Langsamläufer-Impulse		H?*, T*		2H?*		H*		?		H*	
Schnellläufer-Impulse	3H	T	2H, T	H	T, H		T, H	3T, HF	Tf, H		T, H
Temperaturimpulse	2W	W					W, K	W, K	3W		K?
Premeteo-Index -zyklonal, + antizyklonal (Index 1+2+3)	15	8	5	2	19	0	11	-24	-3		1
Pre.IX (ALTERNATIV)		-1	0	10	10				-12		
Index 1 (12 - 12 UTC) exakte Aspekte des Tages	14	13	-2	2	12	0	11	-10	2		1
Index 1 (ALTERNATIV)		4		10	3						
Symmetrien (0 - 0 UTC)	Pal 10op Chi Eri (01) H* H* ...	Ven 10 Chi Eri (05) Tst H* ... Pal 180 Ven Ves (05) H T* ? Eri 9 Ven Ura (17) H H?*(4/1) ... Pal 9op Chi Mer (19) H H ...	Ves 10 Chi Mer (00) A* H* ... Qua 91 Chi GSZ (01) H?*(5,5/2) ?* T?*(1/5) ... Ura 9 Son Eri (02) H K H?*(4/1) ... Mer 10 Ura Ves (02) A H* ... Ura 9 Son Mer (06) H K A* ... Son 150 Pal Cer (14) A H* A*+7 GSZ 23 Orc Hau (16) T* ...	Eri 9 Ura Ves (18) H?*(4/1) A* ...	Hau 2op Eri Mer (02) ?* H +7 Hau 8op Ven Ura (05) H H?*(5/1,5) ...	Mer 5 Ura Eri (00) A H* ... Ven 14 Ura Chi (04) H* (8/3) ... Eri 5 Ven Mer (05) H H* ... Ven 6op Pal Hau (10) H H ... Ven 4 Ves Eri (22) H H ...	Hau 5op Ven Mer (04) H H* ... Pal 8op Ven Chi (18) H H* ... Eri 8 Ves Mer (19) A H* ...	Mer 2op Jup GaZ (13) A H* +7 Son 135 Qua GSZ (15) TI T* ?* -14 Son 145 Jup Pal (16) T W A* -7	Hau 9op Ven Mer (01) A* H* ... Cer 15op Mer Sed (13) TI ... Son 136 Qua Mak (13) TI T* ?* -14	Hau 8op Ura Ves (12) H?*(5/1,5) A* ... Var 71 Son Pal (15) H A* A*+7	
Index 2 (12-12 UTC)	0	0	7	0	7	0	0	-14	-14		0
Index 2 ALTERNATIV											
ausgelöste Aspekte (= durch Konjunktionen aktivierte Aspekte)	Mer 90 Sat H1 (Sat 180 Kn1 H7) Ves 120 Cer H5	(Sat 180 Kn1 H7) Ves 180 Pal T-5	Jup 120 Eri H6 (Sat 180 Kn1 H7) Plu 90 Eri A?*(4/5) Orc 135 Eri T?*(1/2,5) Q*-11	(Sat 180 Kn1 H7)	(Sat 180 Kn1 H7)	(Sat 180 Kn1 H7)	Ven 90 Sat H2 (Sat 180 Kn1 H7)	Ven 90 Sat H2 (Sat 180 Kn1 H7)	(Sat 180 Kn1 H7) Chi 30 Ura H8 Ura 150 Mak +9 Ura 45 Nep H?*(3/0) +8/0 Ura 120 Qua H?*(6/2) +9/0	Jup 120 Eri H6 (Sat 180 Kn1 H7) Plu 90 Eri A?*(4/5) Orc 135 Eri T?*(1/2,5) Q*-11	
Index 3 (Summe)	1	-5	0	0	0	0	0	0	9		0
Index 3 ALTERNATIV			-5						0		
Symbol-Prognose	2	3	3	3	2	3	2	5	3		3
Symbol-Prognose altern.	2	3	3	2	2	3	2	5	5		3
Wochentag	Mi	Do	Fr	Sa	So	Mo	Di	Mi	Do	Fr	
Datum	1	2	3	4	5	6	7	8	9	10	
reale Wetterlage	H1: Hf, 2H?, 8H - T*, 4T - ?* / +60							T1: Tf, 3T - H*, Hf, H - ?* / -27			H2: H - T / +1
Luftdruck (hpa) 06 UTC	1018,2	1012,7	1012,7	1008,2	1018,5	1022,3	1021	1007,9	1001,3	1011,3	
mittl. Temp.(°C)	11,9	11,9	11	5,5	6,2	7,8	10,2	11,3	11,5	13	
Sonnenscheindauer (h)	13,4	6,8	2,5	0,1	5,2	6,7	9,8	0	1,5	2,8	
Niederschlag (Liter)	0	13,7 / 17	2,9 / 8	6,8 / 9	0	0	1,1 / 1	11,5 / 13	6,1 / 18,5	1,8 / 4	
Bodenwetterlage 00 UTC (Kernlage des Druckgebets, das SW-D beeinflusst)	fl H ü SO-Engl	H ü SW-D u O-Alpen	T ü Finnland	fl, schm H-Zone zw T ü S-Schwed, T ü S-Mm	H w Schotti, T ü N- M-Ital	H ü NW-F	H ü O-F	T ü O-Atl	T ü NW-F u Nsee	fl H ü CH	
Bodenströmung 12 UTC zyklonal (z), antizyklonal (a)	a	fl a	a	z	a	a	a	z	z	a	
Stromung auf 500 hpa 00 UTC	NO fl z	SW fl a	SW z	W z	SW z	N a-z	W fl a	WSW fl a	SW z	W fl z	
zutreffende Wettersymbole	2 r	3 r	3-5 hr	5 hr	3 hr	3 r	2 r	5 r	5 hr	3-5 r	

Übertrag

Index 1: +11
Index 2: 0

VEN 120 CER WID 12°42'51" SCH 12°42'52" A W	04:00	URA 45 NEP STI 03°03'13" FIS 18°03'13" H?*(3/0) +9/0	03:29	VEN 45 APO WID 15°02'18" FIS 00°02'17" A	01:59	SON 150 PAL STI 13°16'30" WAA 13°16'31" A	00:22	MER 30 SED WID 26°57'55" STI 26°57'54" T-1	02:16	VES 144 ORC WID 15°11'39" JUN 09°11'40" T-1	05:43	MER 60 APO STI 00°28'37" FIS 00°28'39" T-1	00:39	MER 150 GSZ STI 02°19'43" WAA 02°19'45" T-10	00:31	SON 135 QUA STI 18°09'58" STE 03°09'59" WAA 04°07'05" T-3	01:32	SON 135 FY9 STI 19°07'05" WAA 04°07'05" T-3		
MER 60 MAR WID 20°21'46" ZWI 20°21'46" A	06:38	MAR 30 KN1 ZWI 21°08'23" KRE 21°08'23" A	11:17	SON 150 CER STI 12°25'46" SCH 12°25'45" H+3	03:27	CHI 180 MAK WID 04°11'52" WAA 04°11'52" H?*(4/2) 0/+8	02:04	MER 120 GAZ WID 27°00'49" SCH 27°00'48" A	02:55	PAL 72 VAR WAA 12°48'56" LÖW 00°49'26" A*	06:13	MER 90 VAR STI 00°49'26" LÖW 00°49'26" T W -3	05:09	SON 144 JUP STI 17°12'42" SCH 23°12'43" T W -3	01:52	SON 60 NEP STI 18°13'17" FIS 18°13'17" A W	02:54	VEN 0 ERI WID 23°55'25" WID 23°55'26" H K?+4		
MER 90 SAT WID 20°31'02" STE 20°31'03" H+1	08:51	VES 180 PAL WID 13°34'11" WAA 13°34'11" T* -5	15:54	MER 120 JUP WID 23°34'34" SCH 23°34'35" A	04:00	MER 180 HAU WID 25°26'01" WAA 25°26'02" H+2	05:33	MER 135 CER WID 27°06'51" SCH 12°06'50" A	04:16	MAR 60 ERI WID 23°53'10" WID 23°53'10" H W +2	16:41	VEN 90 SAT WID 20°28'24" STE 20°28'22" H W +2	13:28	SON 135 GSZ WID 20°28'24" WAA 02°19'45" T-6	04:46	MER 30 CHI WID 04°26'11" WID 04°26'11" A	03:13	VAR 150 APO LÖW 00°51'14" FIS 00°51'14" T-3		
VEN 0 VES WID 12°59'29" WID 12°59'28" H W +2	09:29	SON 72 APO STI 11°59'41" WAS 29°59'42" T W ---	16:42	VEN 144 ORC WID 15°12'55" JUN 09°12'54" T-2	05:29	URA 120 QUA STI 03°12'55" STE 03°12'55" H?*(6/2) +9/0	23:42	MAR 150 PLU ZWI 23°07'24" STE 23°07'25" H+4	12:30	MAR 150 NEP WID 18°08'25" WID 18°08'25" A	19:28	VES 45 APO WID 15°27'12" FIS 00°27'12" KRE 20°51'13" A K	19:28	VEN 90 KN1 WID 20°51'12" KRE 20°51'13" A	20:59	MER 120 QUA STI 03°10'26" STE 03°10'26" WAA 12°16'29" A	11:17	SON 144 PAL STI 18°16'28" WAA 12°16'29" A	04:13	SON 45 CHI STI 19°29'46" WID 04°29'45" A
MAR 150 SAT WID 20°31'01" STE 20°31'02" A	12:19	JUN 72 ERI KRE 05°50'41" WID 23°51'05" WID 23°51'04" H+2	16:53	MER 0 ERI WID 23°51'05" WID 23°51'04" H+2	07:49		VEN 30 NEP WID 18°08'25" WID 18°08'25" A	15:20	VEN 90 SAT WID 20°28'24" STE 20°28'22" H W +2	16:41	VEN 90 SAT WID 20°28'24" STE 20°28'22" H W +2	16:41	VEN 90 SAT WID 20°28'24" STE 20°28'22" H W +2	13:28	SON 135 GSZ WID 20°28'24" WAA 02°19'45" T-6	04:46	MER 30 CHI WID 04°26'11" WID 04°26'11" A	03:13	VAR 150 APO LÖW 00°51'14" FIS 00°51'14" T-3	
MER 90 KN1 WID 21°10'39" KRE 21°10'38" A	18:17	SON 135 GAZ STI 12°00'47" SCH 27°00'47" A	17:09	MER 135 ORC WID 24°12'47" JUN 09°12'46" A	12:49		SON 30 VES STI 14°59'14" WID 14°59'14" A	18:45	VEN 90 SAT WID 20°28'24" STE 20°28'22" H W +2	16:41	VEN 90 SAT WID 20°28'24" STE 20°28'22" H W +2	16:41	VEN 90 SAT WID 20°28'24" STE 20°28'22" H W +2	13:28	SON 135 GSZ WID 20°28'24" WAA 02°19'45" T-6	04:46	MER 30 CHI WID 04°26'11" WID 04°26'11" A	03:13	VAR 150 APO LÖW 00°51'14" FIS 00°51'14" T-3	
VEN 180 PAL WID 13°43'12" WAA 13°43'11" H+4	23:54	MER 90 PLU WID 23°08'07" STE 23°08'08" A	21:52	MER 72 JUN WID 24°15'54" KRE 06°15'56" A	13:32		MAR 180 JUP ZWI 23°22'49" SCH 23°22'49" A	21:59	VEN 90 SAT WID 20°28'24" STE 20°28'22" H W +2	16:41	VEN 90 SAT WID 20°28'24" STE 20°28'22" H W +2	16:41	VEN 90 SAT WID 20°28'24" STE 20°28'22" H W +2	13:28	SON 135 GSZ WID 20°28'24" WAA 02°19'45" T-6	04:46	MER 30 CHI WID 04°26'11" WID 04°26'11" A	03:13	VAR 150 APO LÖW 00°51'14" FIS 00°51'14" T-3	

Maï 2019



Prognose für SW-Deutschland

aktualisierter Index 3

Die Konjunktion von Saturn mit dem absteigenden Mondknoten bleibt den ganzen Monat bestehen. Vom 18. bis zum 22. bilden Sonne, Sedna und Merkur ein enges Konjunktionsfeld. Am 17. und 18. fallen 5 aufeinander folgende Venus-T-Aspekte auf, dies könnte zu einer Impulskehrung führen. Vom 24. bis zum 28. ist Vesta in Konjunktion mit Eris. Am 30. beginnt die Konjunktion von Juno mit dem aufsteigenden Mondknoten. Aspekte, die im Index 3 in roter Schrift erscheinen, wurden nicht berechnet, da die Partnerplaneten zum jeweiligen Konjunktionsplaneten einen geringeren Rang haben.

Langsamläufer-Impulse				H*, H?*	2H*		H*		Hf*	H*
Schnellläufer-Impulse	2Tf, 2H, Hf	Hf, T, H	H		2T, Hf	3T, 3H	H, Hf, 2T	4T, 2H		2H
Temperaturimpulse	W?, W	W	K	W		W, K?		W, 4K?		
Premeteo-Index zyklonal, + antizyklonal (Index 1+2+3)	12	17	16	5	20	30	12	5	18	24
Pre.IX (ALTERNATIV)	-3	7			-5			-4	9	
Index 1 (12 - 12 UTC) exakte Aspekte des Tages	5	17	2	5	20	9	12	-4	2	10
Index 1 (ALTERNATIV)	-5	7			9					
Symmetrien (0 - 0 UTC)	Ven 8 Ura Ves (20) T H ...	Ura 7 Ven Mer (10) T A ... Sed 31 Ven Mar (12) H T A W -7? Mer 150 Pal Car (15) T A A -7 Hau top Ven Eri (15) H ? +7	Mer 15 Ven Sed (00) H+14 Ves 70p Pal Hau (11) T* A* ... Mer 9 Son Ura (12) H A ... Pal 70p Chi Ves (15) H* T* ... Ura 10 Eri Mer (16) Hf*(4/1) A	Ven 5 Ura Eri (11) T H ... Eri 5 Ven Ves (14) H A* ... Jun 90p Sat Qua (17) H* A* ...	Ves 14 Ura Chi (07) H* (8/3) ... Mer 144 Jup Pal (09) T T A* 0-14 Mer 135 Qua GSZ (18) H A ? +14	Hau 60p Ven Ves (02) H A* ... Mer 30p Qua GaZ (05) A H +7	Son 149 Hau GaZ (07) T A ? Jun 100p Ura Qua (09) H* A* ...	Mar 68 Orc Eri (14) T*(12/5) ... GSZ 91 Mar Qua (15) A ? A ?	Sed 1 Son Mer (15) A H +7 Mer 149 Hau GaZ (16) A A ? ...	Cer 145 Ura Jun (05) H* T* H* ? Mer 1 Son Sed (16) H H +14
Index 2 (12 -12 UTC) Index 2 ALTERNATIV	7	0	14	0	-14	21	0	0	7	14
ausgelöste Aspekte (= durch Konjunktionen aktivierte Aspekte)	Jup 120 Eri H6 (Sat 180 Kn1 H7) Plus 90 Eri A*(4/5) Orc 135 Eri T*(12,5) 0-11	(Sat 180 Kn1 H7)	(Sat 180 Kn1 H7)	(Sat 180 Kn1 H7)	(Sat 180 Kn1 H7)	(Sat 180 Kn1 H7)	(Sat 180 Kn1 H7)	(Sat 180 Kn1 H7) (Sat 180 Kn1 H7) Chi 30 Ura H8 Cer 144 Ura H5 Ura 150 Mak H9 Ura 45 Nap H7*(3/0) +9/0 Ura 120 Qua Hf*(6/2) +9/0 Qua 144 Sed A*(6,5/2) Sed 150 GaZ ?	(Sat 180 Kn1 H7) Chi 30 Ura H8 Cer 144 Ura H5 Ura 150 Mak H9 Ura 45 Nap H7*(3/0) +9/0 Ura 120 Qua Hf*(6/2) +9/0 Qua 144 Sed A*(6,5/2) Sed 150 GaZ ?	(Sat 180 Kn1 H7) Qua 144 Sed A*(6,5/2) Sed 150 GaZ ?
Index 3 (Summe)	0	0	0	0	0	0	0	9	9	0
Index 3 ALTERNATIV	-5							0	0	
Symbol-Prognose	2	2	2	3	2	2	2	3	2	2
Wochentag	Sa	So	Mo	Di	Mi	Do	Fr	Sa	So	Mo
Datum	11	12	13	14	15	16	17	18	19	20
reale Wetterlage	T2: 2Tf- Hf, 2H/+12	H3: 3H*, H?*, 2H, 5H - 6T / +88					T3: 6T - Hf*, 2H*, Hf, 5H / +59			
Luftdruck (hpa) 06 UTC	1008,8	1028,6	1034,5	1030,8	1024,5	1016,9	1007,9	1006	1005,8	1005,1
mittl. Temp.(°C)	13,1	9,1	10,2	10,5	11	11	13,9	14,6	14,6	14,7
Sonnenscheindauer (h)	3,3	10,3	11,8	12,4	10	6,9	7,5	4,5	3,9	0,3
Niederschlag (Liter)	6,3 / 19	0 / 2	0	0	0	0	0,1	4,0 / 7	11,2 / 17	9,3 / 24,5
Bodenwetterlage 00 UTC (Kernlage des Druckgebets, das SW-D beeinflusst)	T ü N-F	H ü NW-GB	H ü Nsee	H bei Däne	H ü Skand	H ü Skand	T ü O-iber	T ü NO-F	T ü S-D	T ü W-Oster
Bodenströmung 12 UTC zyklonal (z), antizyklonal (a) Strömung auf 500 hpa 00 UTC	z	a-z	fl z	a	fl z	fl a	z	z	a	a-z
zutreffende Wettersymbole	5 f	2 r	2 r	2 hr	2r	3 hr	3 hr	3-5 hr	3-5 f	5 f

MER 144 GSZ STI 08*19'43" WAA 02*19'44" Tf-7	SON 144 GaZ STI 21*00'51" SCH 27*00'50" A	NEP 30 VES FIS 18*18'31" WID 18*18'31" A*	SON 120 PLU STI 23*03'42" STE 23*03'42" A	SON 30 ERI STI 23*58'12" WID 23*58'11" A	MER 60 NEP STI 18*21'59" FIS 18*21'58" T W ---	MER 60 KN1 STI 20*22'10" KRE 20*22'12" H ---	VEN 45 NEP STI 03*24'22" FIS 18*24'23" TK? -4	MER 150 EL6 STI 25*10'23" WAA 25*10'22" A	MER 144 QUA STI 27*00'40" STE 03*00'41" H +1
MER 72 KN1 STI 08*40'16" KRE 20*40'17" A	MER 144 FY9 STI 10*05'39" WAA 04*05'36" Hf +7	MER 72 APO STI 13*12'23" FIS 01*12'23" A	JUN 90 PAL KRE 11*29'41" WAA 11*29'40" Hf +5	MER 144 JUP STI 16*34'36" SCH 22*34'36" T-1	VEN 90 VAR STI 00*55'00" LÖW 00*55'02" H +2	CER 144 URA SCH 09*53'22" STI 03*53'22" Hf +5	SON 150 GaZ STI 27*00'51" SCH 27*00'52" A	URA 150 MAK STI 04*00'42" WAA 04*00'42" Hf +9	MER 150 GaZ STI 27*00'51" SCH 27*00'53" A
SON 120 SAT STI 20*24'52" A	VEN 135 CER SCH 10*54'18" H +1	MER 45 MAR ZWI 28*24'20" A W	VEN 60 MAR WID 28*59'53" A W	CER 45 HAU SCH 10*14'07" WAA 25*14'07" Hf +5	MER 72 VAR STI 18*55'06" LÖW 00*55'08" H +1	SON 135 PAL STI 28*07'19" WAA 11*07'18" A	MER 120 PLU STI 23*01'11" STE 23*01'13" A	VEN 30 CHI STI 04*52'42" WID 04*52'42" A	MER 0 SED STI 27*09'50" STE 03*00'42" H +2
MAR 180 GaZ ZWI 27*00'51" SCH 27*00'50" H +8	MER 60 JUN STI 10*30'54" KRE 10*30'55" A K	SON 150 JUP STI 22*42'50" SCH 22*42'49" A K	SED 144 QUA STI 27*05'28" STE 03*05'28" H?*(6,5/2) +11/0	JUN 45 SED KRE 12*06'05" STI 27*06'05" Hf +5	SON 150 HAU STI 25*13'12" WAA 25*13'11" T-3	MER 144 GaZ STI 21*00'52" SCH 27*00'52" A	SON 144 QUA STI 27*02'20" STE 03*02'21" H W +3	MER 135 PAL STI 25*53'42" WAA 10*53'43" Hf +7	SAT 180 KN1 STE 20*11'01" KRE 20*11'01" Hf*(8/4) +7
VEN 180 HAU WID 25*18'08" WAA 25*18'08" H W? +4	MER 150 CER STI 10*50'08" SCH 10*50'07" A	MER 150 CER STI 10*50'08" SCH 10*50'07" A		VEN 72 JUN STI 00*06'59" KRE 12*06'59" A	MER 135 MAK STI 19*02'35" WAA 04*02'36" H +2	VEN 150 GSZ STI 02*19'44" WAA 02*19'43" T-2	SON 0 SED STI 27*08'24" STI 27*08'23" A K?	MAR 90 GSZ KRE 02*19'43" A	CER 90 ORC SCH 09*08'22" JUN 09*08'22" A*
MER 120 ORC STI 09*09'54" JUN 09*09'56" A	CER 150 JUN SCH 10*46'02" KRE 10*46'01" A*			MER 144 PAL STI 17*19'26" WAA 11*19'28" T ---	VEN 60 APO STI 01*33'13" FIS 01*33'13" A K?	MAR 30 VAR KRE 00*56'04" LÖW 00*56'04" Hf +10	VEN 144 CER STI 03*37'25" SCH 09*37'26" A	MAR 180 QUA STE 03*00'02" STE 03*00'02" A	
MAR 30 SED ZWI 27*03'00" STI 27*03'00" Tf 0/-10	MER 150 PAL STI 11*41'30" WAA 11*41'30" T-1			MER 135 GSZ STI 17*19'42" WAA 02*19'44" A	MER 45 CHI STI 19*46'04" WID 04*46'06" T-1	SAT 90 VES STE 20*16'16" WID 20*16'16" A*	VEN 0 URA STI 03*58'23" STI 03*58'24" TK? -4		
SON 60 KN1 STI 20*39'16" KRE 20*39'15" A W	VEN 120 GaZ WID 27*00'50" SCH 27*00'51" A			MER 135 QUA STI 18*04'27" STE 03*04'25" Hf +7	MER 30 VES STI 19*54'38" WID 19*54'40" A	VEN 90 KN1 WID 20*19'52" KRE 20*19'52" A*	MER 30 ERI STI 24*00'16" WID 24*00'14" H +1		
MAR 72 ORC ZWI 27*09'53" JUN 09*09'53" Hf +10 / 0	MER 135 GaZ STI 12*00'53" SCH 27*00'51" A			MER 120 SAT STI 20*17'18" STE 20*17'19" A	GSZ 72 KN1 WAA 02*19'43" KRE 20*19'43" A*(7/5)	VEN 150 MAK STI 04*01'07" WAA 04*01'07" TK? -4			
	VEN 30 SED STI 22*04'07" WID 27*04'08" H +2			MER 150 JUP STI 22*18'19" SCH 22*18'21" T-1	MAR 120 APO KRE 01*48'10" FIS 01*48'10" T ---				
				VEN 120 QUA STI 03*02'39" STE 03*02'40" T-2					

Mai 2019



Prognose für SW-Deutschland

aktualisierter Index 3

Die Konjunktion von Saturn mit dem absteigenden Mondknoten bleibt den ganzen Monat bestehen. Vom 18. bis zum 22. bilden Sonne, Sedna und Merkur ein enges Konjunktionsfeld. Am 17. und 18. fallen 5 aufeinander folgende Venus-T-Aspekte auf, dies könnte zu einer Impulskehrung führen. Vom 24. bis zum 28. ist Vesta in Konjunktion mit Eris. Am 30. beginnt die Konjunktion von Juno mit dem aufsteigenden Mondknoten.
Aspekte, die im Index 3 in roter Schrift erscheinen, wurden nicht berechnet, da die Partnerplaneten zum jeweiligen Konjunktionsplaneten einen geringeren Rang haben.

Langsamläufer-Impulse	T*, H*		2H*			T*, H*		H*				H*
Schnellläufer-Impulse	5H	5T, 2H	2H	T	5T	2H, T	H, Hf	T	T, 3H	3H, 2T		T, 2H
Temperaturimpulse	K?	K, 2W	2W?, W		W				K, W	K, W		W, K
Premeteo-Index zyklonal, + antizyklonal (Index 1+2+3)	11	-12	-7	24	-16	-22	2	24	16	21		24
Pre-IX (ALTERNATIV)		-4										
Index 1 (12 - 12 UTC) exakte Aspekte des Tages	8	-9	0	24	-9	-12	5	9	16	2		5
Index 1 (ALTERNATIV)		-1										
Symmetrien (0 - 0 UTC)	Eri 36 Nep Mer (06) A W # Plu 172 Jun Var (08) H* ? # Eri 136 Oci Cer (16) ? A* A* #	Hau 143 Nep Mer (06) ? A A W # Mar 90 Chi Mak (02) A H H*(472) -- Hau 143 Son Nep (03) T ? A W - ?	Ura 29 Son Chi (00) H* (B3) A W ? A W- Mar 90 Chi Mak (02) A H H*(472) -- Hau 143 Son Nep (03) T ? A W - ?	Ura 29 Son Chi (00) T H* (B3) H -- Mar 159 Jup Sat (02) H* -- Ves 136 Oci Cer (07) T* A* A* - ? Nep 76 Son Qua (15) T --	Cer 30p Son Mer (10) A T - ? Mer 36 Ura Jun (11) H* (+14) Index 1!	Jup 164 Son Mär (02) H K -- Ura 10 Ven Ves (06) T A* -- Mar 24 Var Mer (23) T --	Mer 70p Jup Cer (01) A T -- GaZ 6 Jup Qua (06) T*(4,9,5) ? -- Ven 145 Jup Pal (09) Hst A* A* +14 Mer 100p GaZ Cer (08) T T -- Cer 100p Sed Mer (09) A* T -- Chi 72 Plu Mer (14) H*(4,2) H W A -- Ven 136 Qua GSZ (21) H H ? +14	Mer 31 Ven Jun (00) T K A H W Index 1! Jun 75 Ura Mak (01) H* -- (Ven 136 Qua Mak (13) H A ? + ?) Hau top Ves Eri (15) H W H W A* +14 Sed 23 Ura Mer (18) T --	Chi 76 Sat Mer (04) T -- Ven 61 Nep Jun (05) H W H W A* +14			
Index 2 (12 - 12 UTC) Index 2 ALTERNATIV	0	0	-7	0	-7	-7	0	14	0	14		14
ausgelöste Aspekte (= durch Konjunktionen aktivierte Aspekte)	Son 45 Jun H3 (Sat 180 Kn1 H7)	Son 144 Hau T-3 (Sat 180 Kn1 H7)	(Sat 180 Kn1 H7)	(Sat 180 Kn1 H7) Oci 135 Eri T*(112,5) 0/-11	(Sat 180 Kn1 H7) Oci 135 Eri T*(112,5) 0/-11	Son 135 Sat T-3 (Sat 180 Kn1 H7) Oci 135 Eri T*(112,5) 0/-11	Son 135 Sat T-3 (Sat 180 Kn1 H7) Oci 135 Eri T*(112,5) 0/-11 Hau 180 Eri H*(42) +110	Mer 144 Sat H1 (Sat 180 Kn1 H7) Oci 135 Eri T*(112,5) 0/-11 Hau 180 Eri H*(42) +110	(Sat 180 Kn1 H7)	Jun 180 Sat H5 (Sat 180 Kn1 H7)		Mer 150 Sat T-1 Ven 120 Sat T-2 Jun 180 Sat H5 (Sat 180 Kn1 H7)
Index 3 (Summe)	3	-3	0	0	0	-3	-3	1	0	5		5
Index 3 ALTERNATIV												
Symbol-Prognose	2	5	3	3	5	5	3	2	2	2		2
Wochentag	Di	Mi	Do	Fr	Sa	So	Mo	Di	Mi	Do		Fr
Datum	21	22	23	24	25	26	27	28	29	30		31
reale Wetterlage	H4: 3H*, 9H - T* - 6T / +16				T4: T*, 7T - 2H*, 8H, 3H / -12			H5: H*, 8H - 4T / +61				
Luftdruck (hpa) 06 UTC	1011,2	1019,7	1020,6	1015,6	1015,2	1018	1012,6	1008,7	1019,5	1026,3		1026,7
mittl. Temp. (°C)	12,7	14	14,8	16,8	16,9	16,5	16,2	13,7	13,6	16,4		19,4
Sonnenscheindauer (h)	0	10,4	13,8	9,8	7,9	13,5	3,8	2,1	6,2	10,6		10,6
Niederschlag (Liter)	24,1 / 47	0	0	0	0	0	0,4	11,8 / 7	0 / 2	0		0
Bodenwetterlage 00 UTC (Kernlage des Druckgebiets, das SW-D beeinflusst)	H bei Id, T ü Tschech	H ü NW-F	H ü W-D	H ü SO-D, T ü N-Nsee	T ü Osee	Azor-H, T ü Lybien	T mit Kernen ü N-Atl, N-Nsee, Däne	Trog mit Kernen ü Nm, S-Skand, O-D, Tyrhm	Azor-H u H ü Biskaya	H mit Kernen ü SW-F u Tschech		H ü F
Bodenströmung 12 UTC zyklonal (z), antizyklonal (a)	a	a-z	a	a-z	fl-z	fl-z	a-z	a-z	fl-z	fl-a		a
Stromung auf 500 hpa 00 UTC	NW z	NW z	Nf a	SW a	SW fl z	z	a-z	SW z	W z	N-a-z		N a
zutreffende Wettersymbole	5f	2f	2 hr	2 f	3 hr	2-3 f	3-5 hr	3-5 f	3-5 f	2 f		2 f

VEN 135 JUP	VEN 72 KNI	MER 120 FY9	VEN 150 PAL	MER 135 PLU	MER 135 EL6	VEN 72 APO	QUA 60 APO	MER 30 VEN	MER 30 VEN	MER 90 NEP	JUN 180 SAT
STI 08*5752*	STI 08*0605*	ZWI 03*5831*	STI 10*3400*	ZWI 07*5613*	ZWI 10*0409*	STI 14*4552*	STE 02*5224*	ZWI 16*4337*	ZWI 18*3514*	ZWI 18*3512*	KRE 19*4537*
SCH 21*5751*	KRE 20*0605*	WAA 03*5831*	WAA 10*3359*	STE 22*5612*	WAA 25*0407*	FIS 02*4552*	FIS 02*5223*	STI 16*4337*	FIS 18*3512*	STI 19*4557*	H* +5
H K ? +2	T K -2	A	A	T -1	A	A	H* +11	T K ---	H K +1	H K +1	H* +5
04:23	06:18	09:06	09:28	04:10	04:56	18:53	13:41	05:44	02:06	03:13	
CER 135 ERI	VEN 144 GSZ	MER 30 URA	SON 150 QUA	MER 180 CER	PLU 45 CER	MER 144 KN2	VEN 180 HAU	MER 144 PLU	VEN 135 QUA	MER 180 JUP	
SCH 09*0137*	STI 08*1943*	ZWI 04*1325*	STI 04*1323*	ZWI 08*0902*	STE 22*5515*	ZWI 13*4755*	WID 25*0159*	ZWI 16*5233*	ZWI 17*5045*	STI 20*4810*	
WID 24*0137*	WAA 02*1943*	STI 04*1323*	STE 02*5634*	SCH 08*0901*	T -4	SCH 07*5515*	WAA 25*0159*	STE 22*5235*	STE 02*5046*	SCH 20*4810*	
A	A	A W ?	T -3	T -4	A	A	A	H +4	H +4	A	
06:47	07:22	14:45	12:38	07:04	05:45	20:09	15:57	09:57	07:54	03:28	
SON 45 JUN	MAR 90 FY9	VEN 144 FY9	CER 135 VES	VEN 135 GAZ	MER 120 PAL	MER 144 SAT	NEP 120 JUN	MER 72 CHI	MAR 60 ORC	VEN 72 VAR	
STI 29*5704*	KRE 03*5902*	STI 09*5820*	SCH 08*1738*	STI 12*0054*	ZWI 10*2805*	ZWI 13*5440*	FIS 18*3409*	ZWI 17*1440*	KRE 09*0840*	STI 19*0756*	
KRE 14*5704*	WAA 03*5902*	WAA 03*5820*	WID 23*1737*	SCH 27*0055*	WAA 10*2805*	STE 19*5440*	KRE 18*3410*	WID 05*1439*	JUN 09*0841*	LOW 01*0756*	
H +3	A	A	A	A W	H +1	H +1	A*	H W +1	A	A	
08:37	08:54	15:26	09:59	07:56	20:28	20:50	12:40	11:30	11:30	12:42	
JUN 144 CER	SON 60 VAR	GSZ 150 APO	MER 45 VES	VEN 60 ERI	MAR 150 CER	MER 45 VAR	SON 135 PLU	MER 30 JUN	VEN 60 KNI	VEN 60 KNI	
KRE 14*5919*	ZWI 00*5951*	WAA 02*1943*	WID 24*0420*	KRE 07*3311*	KRE 07*3311*	ZWI 16*0542*	ZWI 16*5233*	ZWI 17*5045*	KRE 19*2729*	STI 19*3603*	
SCH 08*5919*	LOW 00*5952*	FIS 02*1943*	WID 23*4041*	WID 24*0420*	SCH 07*3312*	LOW 01*0542*	STE 22*5219*	STE 22*5219*	KRE 19*2729*	KRE 19*3603*	
T -5	A	H* +13	T -2	A	T -1	T -1	H +3	A	A	A	
09:37	10:55	16:05	10:48	09:40	21:46	21:30	14:06	13:01	13:01	15:28	
VEN 120 JUP	MER 90 APO	MER 30 MAR	SON 120 FY9	SON 45 KNI	VEN 144 JUP	VEN 144 PAL	JUP 72 APO	MER 45 URA	VEN 120 SAT	VEN 120 SAT	
WID 21*5609*	ZWI 02*1144*	ZWI 04*5142*	ZWI 03*5725*	ZWI 04*5220*	STI 15*1134*	STI 16*2345*	SCH 20*5927*	ZWI 19*3520*	STI 19*4427*	STI 19*4427*	
SCH 21*5609*	FIS 02*1146*	KRE 04*5143*	WAA 03*5724*	KRE 19*5221*	SCH 21*1132*	WAA 10*2344*	FIS 02*5927*	STI 04*3520*	STE 19*4426*	STE 19*4426*	
H* +5	T ---	A	H +1	H +1	H +6	A	A*	T -1	T -2	T -2	
11:22	12:00	17:45	12:57	11:38	22:37	22:37	15:53	13:45	13:45	17:40	
MER 45 JUN	SON 144 HAU	MER 45 KNI	MAR 72 ERI	VEN 135 ORC	VEN 135 GSZ	VEN 135 GSZ	MER 30 KNI	MER 30 KNI	SON 135 HAU	SON 135 HAU	
ZWI 00*0239*	ZWI 01*0719*	ZWI 05*0050*	KRE 06*0355*	WID 24*0819*	STI 17*1940*	STI 17*1940*	ZWI 19*3906*	ZWI 19*3906*	ZWI 09*5925*	ZWI 09*5925*	
KRE 15*0241*	WAA 25*0718*	KRE 20*0048*	WID 24*0356*	JUN 09*0819*	SCH 07*1836*	SCH 07*1836*	WAA 02*1941*	WAA 02*1941*	WAA 24*5926*	WAA 24*5926*	
H +1	T -6	A	T -5	T -5	H +2	H +2	H +2	H +2	H +3	H +3	
13:08	12:22	17:50	14:15	12:02	15:20	15:20	15:20	15:20	15:20	22:02	
MER 0 SON	MER 120 GSZ	PLU 90 VES	MER 45 ERI	SON 135 SAT	MER 45 ERI	SON 135 SAT	MER 150 SAT	SON 30 MAR	VEN 150 SAT	VEN 150 SAT	
ZWI 00*1220*	ZWI 02*1941*	STE 22*5716*	ZWI 09*0357*	ZWI 04*5801*	ZWI 09*0357*	ZWI 04*5801*	ZWI 19*4715*	ZWI 10*0953*	ZWI 10*0953*	ZWI 10*0953*	
ZWI 00*1220*	WAA 02*1943*	WID 22*5716*	WID 24*0357*	STE 19*5760*	WID 24*0357*	STE 19*5760*	ZWI 19*4715*	KRE 10*0953*	KRE 10*0953*	KRE 10*0953*	
H +2	H +1	A*	A	T -6	A	A	T -2	H K +6	H K +6	H K +6	
15:59	14:03	18:06	15:03	16:39	20:40	20:40	16:52	16:52	16:52	16:52	
MER 72 NEP	VEN 150 CER	MER 60 CHI	MER 90 ORC	SON 60 CHI	VEN 60 NEP	VEN 60 NEP	VEN 60 NEP	VEN 60 NEP	VEN 60 NEP	VEN 60 NEP	
ZWI 00*2757*	STI 08*4316*	ZWI 05*0245*	ZWI 09*0818*	ZWI 05*0906*	STI 18*3541*	STI 18*3541*	STI 18*3541*	STI 18*3541*	STI 18*3541*	STI 18*3541*	
FIS 18*2759*	SCH 08*4317*	WID 05*0243*	JUN 09*0817*	WID 05*0906*	H W +2	H W +2	H W +2	H W +2	H W +2	H W +2	
A W	T -4	A W	T -2	H --	H W +2	H W +2	H W +2	H W +2	H W +2	H W +2	
19:42	14:47	18:08	20:40	20:45	19:37	19:37	19:37	19:37	19:37	19:37	
SON 72 NEP	MAR 60 URA	SON 120 GSZ	SON 30 URA	JUN 135 APO	SON 45 ERI	SON 45 ERI	SON 45 ERI	SON 45 ERI	SON 45 ERI	SON 45 ERI	
ZWI 00*2807*	KRE 04*1059*	ZWI 02*1944*	ZWI 04*2107*	KRE 17*4115*	ZWI 09*0633*	ZWI 09*0633*	ZWI 09*0633*	ZWI 09*0633*	ZWI 09*0633*	ZWI 09*0633*	
FIS 18*2808*	STI 04*1059*	WAA 02*1943*	STI 04*2107*	FIS 02*4115*	WID 24*0634*	WID 24*0634*	WID 24*0634*	WID 24*0634*	WID 24*0634*	WID 24*0634*	
A W	A	H +3	T -3	H* +5	A	A	A	A	A	A	
21:44	19:22	18:23	20:40	20:17	20:17	20:17	20:17	20:17	20:17	20:17	
MER 60 VAR	MER 150 QUA	MER 135 SAT	MER 45 ERI	SON 135 SAT	MER 150 SAT	MER 150 SAT	MER 150 SAT	MER 150 SAT	MER 150 SAT	MER 150 SAT	
ZWI 00*5927*	ZWI 02*5805*	ZWI 05*0418*	ZWI 09*0357*	ZWI 04*5801*	ZWI 19*4715*	ZWI 19*4715*	ZWI 19*4715*	ZWI 19*4715*	ZWI 19*4715*	ZWI 19*4715*	
LOW 00*5928*	STE 02*5807*	STE 20*0420*	WID 24*0356*	STE 19*5760*	STE 19*4715*	STE 19*4715*	STE 19*4715*	STE 19*4715*	STE 19*4715*	STE 19*4715*	
H +1	A	A W ?	A	T -6	A	A	A	A	A	A	
22:50	22:16	18:29	23:02	23:02	20:32	20:32	20:32	20:32	20:32	20:32	
CHI 72 PLU	VEN 120 ORC	SON 90 APO	MAR 72 VES	MAR 72 VES	SON 90 ORC	SON 90 ORC	SON 90 ORC	SON 90 ORC	SON 90 ORC	SON 90 ORC	
WID 04*5838*	STI 09*0814*	ZWI 02*2034*	KRE 05*0254*	KRE 05*0254*	WID 23*0254*	WID 23*0254*	WID 23*0254*	WID 23*0254*	WID 23*0254*	WID 23*0254*	
STE 22*5838*	JUN 09*0816*	FIS 02*2034*	WID 23*0254*	WID 23*0254*	H +6	H +6	H +6	H +6	H +6	H +6	
H*(42) 0+48	A W	A	A	A	A	A	A	A	A	A	
23:15	22:28	23:12	23:12	23:12	23:12	23:12	23:12	23:12	23:12	23:12	
MER 144 EL6	MAR 90 CHI	MAR 90 CHI	MAR 90 CHI	MAR 90 CHI	VEN 135 FY9</						

Mai 2019: Fehlprognosen

Datum	Vorzeichen Symbol	Analyse
11.	+12 5 f	Tief Zacharias über Nordfrankreich. Im Index 1 traten auf: Merkur 144° GSZ Tf, Mars 180° GaZ H / 30° Sedna Tf / 72° Orcus Hf sowie Venus 180° Haumea H. Tf- und Hf-Aspekte haben erfahrungsgemäß einen starken Lokalbezug. GaZ und GSZ haben den höchstens Rang als Aspektpartner. Der Rangordnung nach ergab sich ein Premeteo-Index von +12. rechnete man Mars 30° Sedna Tf ein, ergab sich ein Premeteo-Index von -3. So war der alternative Index die zutreffende Prognose. Auf 500 hPa antizyklonal.
17.	+12 3 hr	Tief Axel über Ostspanien. Analyse siehe 18. Mai.
18.	+5 3-5 hr	Tief Axel über Nordostfrankreich. Der Verlauf der Luftdruckkurve zeigt im Diagramm, dass der Index 1 und alternative Premeteo-Index am 18. mit einem Wert von -4 für den Wetterlauf maßgebend gewesen war. Es handelte sich um eine auffallende Abfolge von fünf Venus-T-Aspekten am 17. und 18., die zwar keine hohe Rangordnung besaßen, aber durch ihre Häufung den zyklonalen Prozess in der Atmosphäre stärker intensivierten, als die Prognoseregeln vorgaben. Auf diese fünf aufeinander folgenden Venus-T-Aspekte war schon im Prognose-Begleittext hingewiesen worden und auf die Möglichkeit einer Impulsumkehrwirkung. Es handelte sich um Venus 150° GSZ / 120° Quaoar / 45° Neptun / 0° Uranus und 150° Makemake. Die zeitgleich vorhandenen H*-, Hf- und H-Aspekte blieben wirkungslos oder erfuhren eine Impulsumkehrung. Die Auslösungen der Venus-Uranus-Konjunktion mit positivem Wert im Index 3 blieben ebenfalls bedeutungslos. Auffallend war, dass der tiefe Luftdruck (bei Vollmond am 18. gegen 21 UTC) entgegen dem positiven Premeteo-Index noch zwei weitere Tage anhielt und dass es dabei zu starken Regenfällen kam, die in Südwestdeutschland zu Überschwemmungen führten. In Durbach-Hespengrund summierten sich die Niederschläge dieser Tiefdruckphase auf fast 49 Liter, wobei im Übergang zur Hochdruckphase 4 noch 47 Liter hinzukamen, so dass diese ungewöhnliche Konstellation in vier Tagen mit fast 96 Litern die Niederschlagsmenge eines ganzen Monats mit sich brachte.
19.	+18 3-5 f	Tief Axel über Süddeutschland. Analyse siehe 18. Mai.
20.	+24 5 f	Tief Axel über Süddeutschland-Österreich. Analyse siehe 18. Mai.
22.	-12 2 f	Hoch Ophelia über Nordwestfrankreich. Auf 500 hPa zyklonal. Der Luftdruck verlief entgegengesetzt zum Premeteo-Index in Begleitung der Aspekte Venus 72° Kn1 T und Venus 150° Ceres T, die in Verbindung mit den Venus-Konstellationen seit dem 17. eine Impulsverschiebung oder – umkehrung mit sich brachten.
23.	-7 2 hr	Hoch Ophelia über Westdeutschland. Der Premeteo-Index stammte allein von der Symmetrie Haumea 144° Sonne Neptun T ?* A W -7. Da Neptun 144° Haumea ?* ein Aspekt ist, der seit 1879 nicht einmal exakt wurde, kann nicht gesagt werden, ob er ein H*- oder ein A*-Aspekt ist. Es ist also möglich, dass der Premeteo-Index am 23. eigentlich nur den Wert 0 hatte. Flacher Index.
27.	+2 3-5 hr	Tief Claudius I, II, III über Nordatlantik, Nordsee, Dänemark. Flacher Index.
28.	+24 3-5 f	Tief Claudius-Dirk mit Kernen über Nordmeer, Südsandinavien, Ostdeutschland. Im Diagramm erschien der Gang der Luftdruckkurve gegenüber dem gemittelten Premeteo-Index wie um zwei Tage verschoben oder aber wie eine Impulsumkehrung durch den 144° Aspekt der retrograd rotierenden Venus mit dem rückläufigen Jupiter am 27. gegen 22 UTC.

Monatsauswertung (Lahr)

Mai 19

H-Wetterlagen

	Anzahl der Wetterlagen	Anzahl der Tage	Niederschlag in Liter	H*	Hf	H	T*	Tf	T	L
normal	5	20	50,4 / 90	11	2	31	1	0	21	2
anormal	0	0	0 / 0	0	0	0	0	0	0	0
gesamt	5	20	50,4 / 90	11	2	31	1	0	21	2

Verhältnis H/Tage = 44/20 = 2,2
 Verhältnis T/Tage = 22/20 = 1,1

T-Wetterlagen

	Anzahl der Wetterlagen	Anzahl der Tage	Niederschlag in Liter	H*	Hf	H	T*	Tf	T	L
normal	2	6	29,8 / 38,5	3	2	4	1	1	10	1
anormal	2	5	30,9 / 67,5	3	2	7	0	2	6	0
gesamt	4	11	60,7 / 106,0	6	4	11	1	3	16	1

Verhältnis H/Tage = 21/11 = 1,91
 Verhältnis T/Tage = 20/11 = 1,82

ganzer Monat	Anzahl der Wetterlagen	Anzahl der Tage	Niederschlag in Liter	H*	Hf	H	T*	Tf	T	L
	9	31	111,1 / 196	17	6	42	2	3	37	3

Gesamtzahl H-Aspekte: 65
 Gesamtzahl T-Aspekte: 42
 Zahl aller Aspekte: 236
 Quotient H/T = 1,55
 Gesamtzahl L-Aspekte: 3

Niederschlag Durbach: s.o. hinter Schrägstrich

r = richtig hr = halbrichtig f = falsch

Symbolprognose in Tagen	12 r 11 hr 8 f
-------------------------	----------------

Premeteo-Index pro Tag	HWL +226/20 = +11,3	TWL +32/11 = +2,91
------------------------	---------------------	--------------------

bezüglich des Vorzeichens richtige Tage	22
bezüglich des Vorzeichens falsche Tage	9

Bei der Auswertung des Januar 2017 wurde entdeckt, dass im Index 3 möglicherweise nur dann Auslösungsaspekte aktiviert werden, wenn der Konjunktionsplanet einen Aspekt mit einem Planeten bildet, der einen höheren Rang hat als der betroffene Konjunktionsplanet selbst. Dies bestätigte sich im Laufe des ganzen Jahres 2017. Manchmal entstand der Eindruck, dass die im korrigierten Index 3 nicht mehr angerechneten Aspekte auf 500 hpa zum Teil doch anwesend waren. Ab Januar 2018 werden nur noch die im Index 3 korrigierten Prognosen ausgewertet.